

II-84 流砂量について

九州大学 正員 横東一郎

〃 〃 平野宗夫

〃 〃 ○渡辺訓甫

まえがき

掃流砂量、浮流砂量を計算し、全流砂量を求めら式としては、Lane-Kalinke, Toffletiなどの式があり、一方粒径毎に流砂量を計算することができる。しかしながら、浮流砂量に関しては、多くの複雑な因子、すなわち、掃流と浮流との境界高さ、および、その底の濃度、底面粗度の影響、浮流砂の存在による乱流構造の変化(Karman定数の変化)、細かい砂が粗い砂や層流底層に遮蔽される効果などが錯綜し、式の適合性については多くの疑問が残されている。上記諸式の中で Einstein の方法は理論的には明快であるが、すでに屡々指摘されているように、遮蔽係数に難点があり、また、流速分布や乱れの強度が摩擦速度 u_* ではなく、砂粒の摩擦速度 u_{*e} に規定されるとしているところには Karman の相似仮説より難点が多い。従って、従来の水路実験資料をできるだけ集め、Einstein の方法を若干修正して次の様な計算式によって、浮流砂量、掃流砂量について検討している。

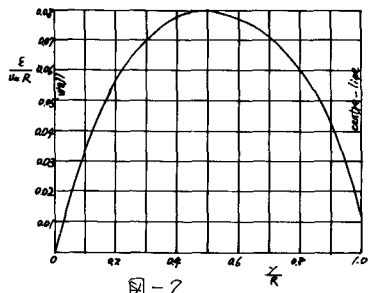
計算方法

(1) 流速分布：相当粗度 r_s を用いた流速分布式 $u/u_* = \frac{1}{\kappa} \ln(30.2r_s/r_s)$ (Lane-Kalinke) では浮流限界 (2d とする)において、多くの場合 ($r_s \geq 60d$) 貨の速度となる。また、Einstein のように流速分布や乱れの強度が u_* ではなく砂粒摩擦速度 u_{*e} に規定されると Karman の相似仮説に矛盾する。ここでは簡単に 2 次式を用いる。Boussinesqによれば $\tau = \tau_0(1 - \frac{y}{h}) = \rho_m (du/dy)$ であるから、 $\tau = \gamma/h$ と無次元表示すれば

$$\frac{du}{ds} = \frac{u_*^2 h}{\varepsilon_m} (1 - s)$$

であるから、運動量の拡散係数 $\varepsilon_m = \varepsilon_{mo} = \text{const}$ 、又し、 $s = 0$ で $u = u_0$ として上式を積分すれば

$$\frac{u}{u_*} = \frac{u_0}{u_*} + \frac{u_* h}{\varepsilon_{mo}} \left(s - \frac{s^2}{2} \right) \quad (1)$$



ε_{mo} に対しては、管路流れにおける Nikuradse の実験曲線を参照して平均的に $0.061 \times \frac{\kappa}{0.4} u_* h$ を用いる。

(2) 濃度分布：拡散係数 ε_s は渦動粘性係数 ε_m に比例するとし、 $\varepsilon_s = \beta \varepsilon_m$ とする。 ε_m に対しては、これも Nikuradse の実験曲線から、 $s \leq 0.2$ では $\varepsilon_m = 0.3 \times \frac{\kappa}{0.4} u_* h s$ 、 $1.0 \geq s \geq 0.2$ では一定値 $0.07 \times \frac{\kappa}{0.4} u_* h$ とする。濃度分布式は

$$\varepsilon_s \frac{dc}{dy} + w_0 c = 0$$

を、 $s = s_0$ で $c = c_0$ として、各領域について積分すれば

$$0 \leq s \leq 0.2 \quad c/c_0 = (s_0/s)^{1/2} \quad (2)$$

$$1.0 \geq \beta \geq 0.2 \quad \frac{C}{C_0} = \left(\frac{\beta_2}{\beta_0}\right)^{\beta_1} \exp\{\beta_2(\beta - \beta_2)\} \quad (2)$$

となる。なお、 β は今までの実験結果を参照して $\beta = 1.2$ を用い、 $\beta_2 = 0.2$ 、 $\beta_0 = 2d_{65}/h$ 、 w_0 :砂粒の沈降速度、 $\beta_1 = 1.33w_0/\beta \times u_*$ 、 $\beta_2 = -w_0h/\beta \times \epsilon_m$ である。

(3) 式(1), (2) における Karman 定数については Einstein によると $S \sum C_i w_{oi} / UI$ (S : 水中比重) と K との実験曲線を指數式で書き更に次式を用いる。 $S \sum C_i w_{oi} / UI = X$ とおいて

$$\left. \begin{array}{ll} X \geq 0.005 & K = -0.075 \log_{10} X + 0.175 \\ 0.005 > X > 0.0005 & X = -0.0277 \log_{10} X + 0.284 \\ 0.0005 \geq X & X = 0.375 \end{array} \right\} \quad (3)$$

である。

(4) 流れ限界高さは $a_* = 2d_{65}$ とし、流れ限界底における濃度 C_0 は掃流層の濃度 $C_* = i_B g_B / \nu a_*$ で接続するものとする。ここで、 v は掃流層における砂粒の平均移動速度で $v = 8.5 u_* e$ とする。

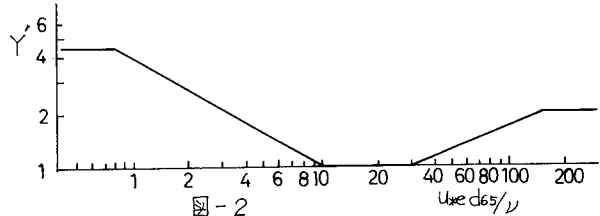
(5) 掃流砂量の無次元表示 $\Psi_{Bi} = i_B g_B / i_B \sqrt{sg d_i^3}$ は有効掃流力 $\Psi_{ei} = u_*^2 / sg d_i$ と Reynolds 数による流体力の補正係数 γ' 、粒度による遮蔽係数 δ' で規定されたものとして

$$\Psi_{ei} = \frac{1}{\delta' \gamma'} \frac{u_*^2}{sg d_i}$$

なる関数を考える。まず、 $u_* e$ について、Einstein の方式は底面粒度の影響を過大に評価するので、藤原構の表示

$$u_*^2 = u_*^2 \frac{g}{g_0}$$

$$g_0 = 6.0 + 5.75 \log_{10} \frac{h}{d_{65}}$$



を用いる。 γ' については、栗原・岩垣などの限界掃流力に関する研究を参照して図-2 の折線を用いる。

以上により、流れ量 Ψ_{Ti} と掃流砂量 Ψ_{Bi} の関係は次式のようになる。

$$\Psi_{Bi} = \Psi_{Ti} \cdot \left[1 + \frac{u_*}{u_* e} \cdot \frac{1}{8.5 \beta_0} \cdot \left(\frac{\beta_0}{\beta_2} \right)^{\beta_1} \cdot (I_A + I_B) \right]^{-1} \quad (4)$$

$$\begin{aligned} I_A &= \frac{1}{(1-\beta_1)} \left[\beta_2 \cdot \left\{ \frac{u_0}{u_*} + \frac{u_* h}{\epsilon_m} \left(\beta_2 - \frac{\beta_2^2}{2} \right) \right\} - \beta_0 \left(\frac{\beta_2}{\beta_0} \right)^{\beta_1} \cdot \left\{ \frac{u_0}{u_*} + \frac{u_* h}{\epsilon_m} \left(\beta_0 - \frac{\beta_0^2}{2} \right) \right\} \right] \\ &\quad - \frac{1}{(1-\beta_1)(2-\beta_1)} \frac{u_* h}{\epsilon_m} \left[\beta_2^2 (1-\beta_2) - \beta_0^2 \left(\frac{\beta_2}{\beta_0} \right)^{\beta_1} (1-\beta_0) \right] \\ &\quad - \frac{1}{(1-\beta_1)(2-\beta_1)(3-\beta_1)} \frac{u_* h}{\epsilon_m} \left[\beta_2^3 - \beta_0^3 \left(\frac{\beta_2}{\beta_0} \right)^{\beta_1} \right] \end{aligned}$$

$$\begin{aligned} I_B &= e^{\beta_2(1-\beta_2)} \left[\frac{1}{\beta_2} \left\{ \frac{u_0}{u_*} + \frac{u_* h}{2\epsilon_m} \right\} - \frac{1}{\beta_2^2} \frac{u_* h}{\epsilon_m} \right] \\ &\quad - \left[\frac{1}{\beta_2} \left\{ \frac{u_0}{u_*} + \frac{u_* h}{\epsilon_m} \left(\beta_2 - \frac{\beta_2^2}{2} \right) \right\} - \frac{1}{\beta_2^2} \frac{u_* h}{\epsilon_m} (1-\beta_2) - \frac{1}{\beta_2^3} \frac{u_* h}{\epsilon_m} \right] \end{aligned}$$

式(4)により、実験で求められた $\bar{\Psi}_i$ から $\bar{\Psi}_{Bi}$ が計算される。なお、実験資料では、掃流砂と浮遊砂とが分離されていないので、まず、全流砂量を用いて式(3)から K の第1近似を求め、 $\bar{\Psi}_i(C_i)$ の計算値を求めて、再び、式(3)から K の第2近似を求める逐次計算を行ない、 K の変化が無視できることで繰り返し計算を行なう。

計算結果と考察

実験資料のうち、底質粒度範囲の広いものは Einstein-Chein, Vanoni, Nomicos で、これらは粒度別の流砂量が測定され、粒度毎の $\bar{\Psi}_{Bi}$ が計算されている。その他の資料 Kennedy ($d = 0.55 \text{ mm}$, 0.227), Laursen ($d = 0.11 \text{ mm}$), Guy-Simmons-Richardson ($d = 0.195 \text{ mm}$, 0.44, 0.27, 0.288, 0.305, 0.32, 0.47, 0.53, 0.135, 0.93) のものは均一砂に近く、 d_{50} を用いた均一砂として $\bar{\Psi}_B$ が計算されている。 $\bar{\Psi}_{Bi}$ と $\bar{\Psi}_B$ との関係を示すと図-3のようである。

次に、均一砂 ($\lambda' = 1$) について Reynolds 数の影響を調べるために $\bar{\Psi}_B$ と $\bar{\Psi}_e/Y'$ との関係を図示したものが図-4で、均一砂については、ほぼ次のような式で表示できる。

$$\bar{\Psi}_B = K_1 \cdot \left(\frac{\bar{\Psi}_e}{Y'} - 0.034 \right)^2 \quad (5)$$

$$\begin{aligned} \bar{\Psi}_B &= K_2 \cdot \left(\frac{\bar{\Psi}_e}{Y'} - 0.034 \right)^{1.5}, \quad \frac{\bar{\Psi}_e}{Y'} - 0.034 \geq 0.27 \\ \bar{\Psi}_B &= K_3 \cdot \left(\frac{\bar{\Psi}_e}{Y'} - 0.034 \right)^{2.55}, \quad \frac{\bar{\Psi}_e}{Y'} - 0.034 < 0.27 \end{aligned} \quad (6)$$

ここで、 $K_1 = 12$, $K_2 = 8.6$, $K_3 = 33$ である。式(5), (6)のいずれが妥当かは、この資料だけでは判断しかねるところであり、今後さらに検討を要する問題である。

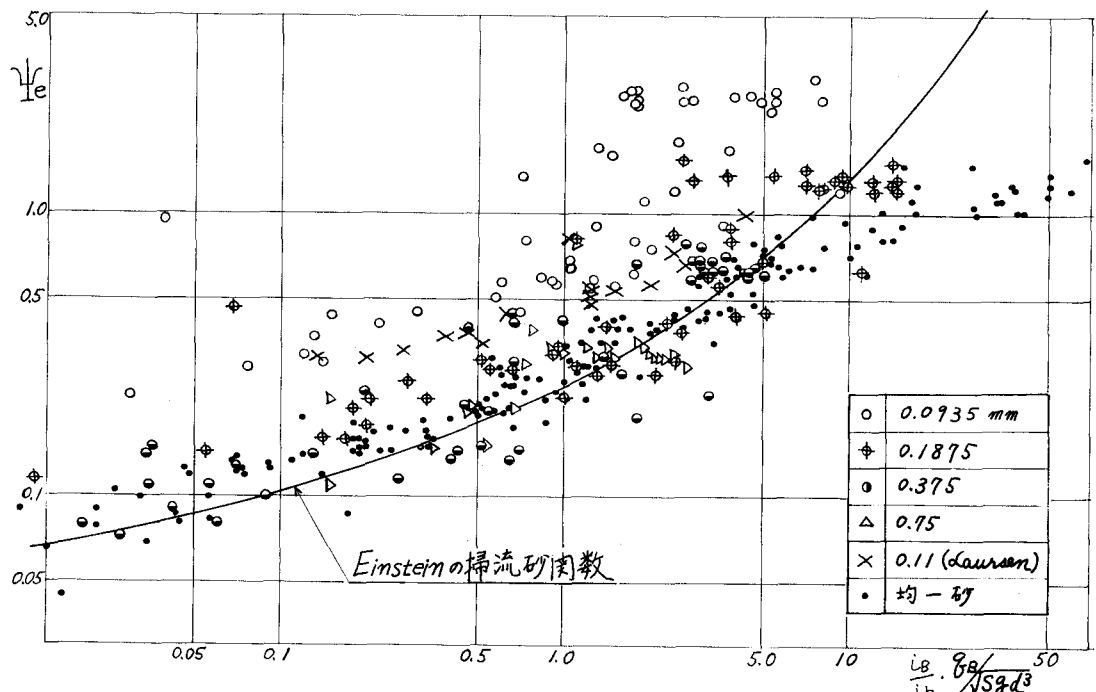


図-3

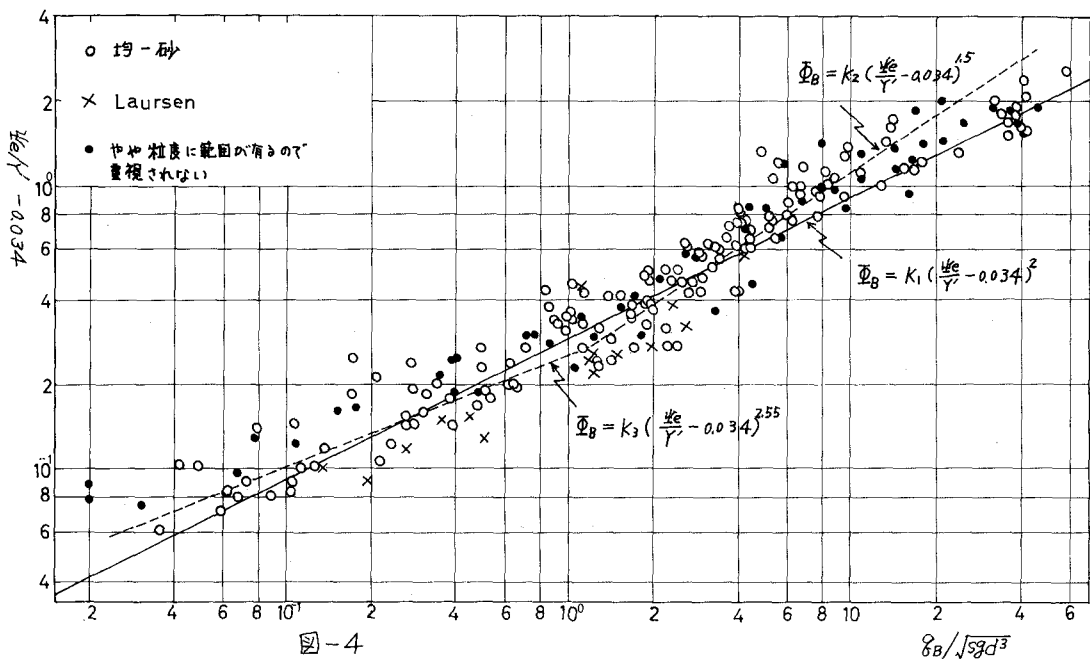
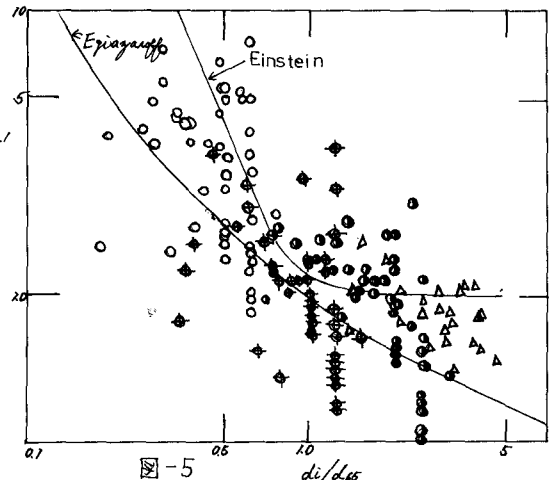


図-4

Einstein は Reynolds 数による補正として、砂粒にあたる代表流速 (β^3/β_2^2)、圧力係数の補正 (Y)、層流底層による補正 (δ') を与えて、いかが Turbulence factor を表す補正係数 Y' の方が物理的な意味も明確であり、妥当であるように思われる。

また、粒度範囲の広い Einstein, Vanoni, Nomicos らの資料について、 δ' を式 (5) から求めて d_B/d_{65} との関係を示したもののが図-5 である。描画はかなりばらついており、これからは何んとも言えないが、パラメータとしては、 d_B/d_{65} の他に擋流力の平均値的なものを考慮する必要があるようである。



参考文献

- 1) SCHLICHTING ; Boundary Layer Theory
- 2) 植東一郎 ; 水工学に関する夏季研修会講議集, 1966